

Eingabe: Farbmatisches Reflexions-System MRS18a

für Buntton $h^* = lab^*h = 31/360 = 0.086$

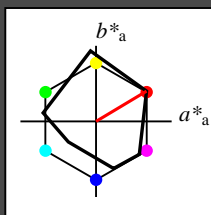
lab^*ich und lab^*nch

D65: Buntton R

LCH*Ma: 50 78 31

rgb*Ma: 1.0 0.0 0.0

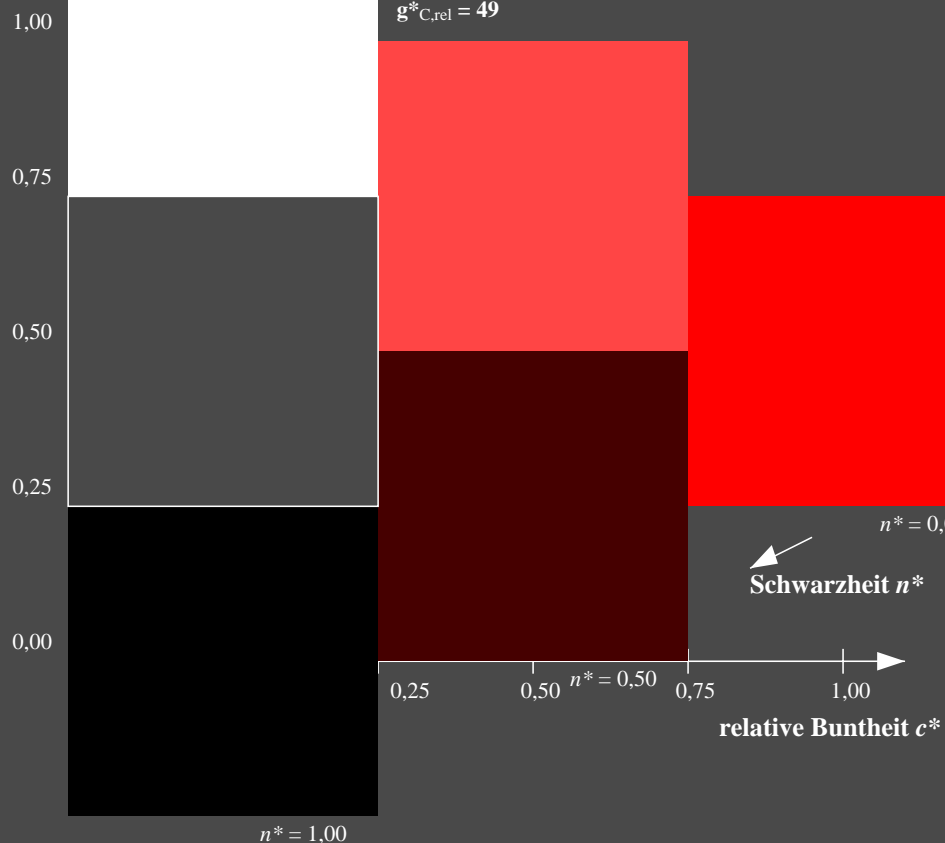
Dreiecks-Helligkeit t^*



MRS18a; adaptierte CIELAB-Daten

| | $L^*=L^*_a$ | a^*_a | b^*_a | $C^*_{ab,a}$ | $h^*_{ab,a}$ |
|--------|-------------|---------|---------|--------------|--------------|
| RMa | 49.63 | 66.8 | 40.02 | 77.87 | 31 |
| JMa | 90.7 | -7.27 | 93.19 | 93.48 | 94 |
| GMa | 52.11 | -69.93 | 11.26 | 70.85 | 171 |
| G50BMa | 45.03 | -36.65 | -27.13 | 45.61 | 217 |
| BMa | 36.65 | 23.26 | -62.27 | 66.49 | 290 |
| B50RMa | 34.94 | 57.27 | -43.6 | 71.99 | 323 |
| NMa | 18.01 | 0.0 | 0.0 | 0.0 | 0 |
| WMa | 95.41 | 0.0 | 0.0 | 0.0 | 0 |
| RCIE | 39.92 | 58.67 | 27.97 | 64.99 | 25 |
| JCIE | 81.26 | -2.91 | 71.56 | 71.62 | 92 |
| GCIE | 52.23 | -42.47 | 13.58 | 44.6 | 162 |
| BCIE | 30.57 | 1.33 | -46.48 | 46.51 | 272 |

%Umfang
 $u^*_{rel} = 92$
%Regularität
 $g^*_{H,rel} = 42$
 $g^*_{C,rel} = 49$



Ausgabe: Farbmatisches Reflexions-System ORS18

für Buntton $h^* = lab^*h = 38/360 = 0.105$

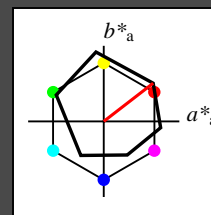
lab^*ich und lab^*nch

D65: Buntton O

LCH*Ma: 48 83 38

rgb*Ma: 1.0 0.0 0.0

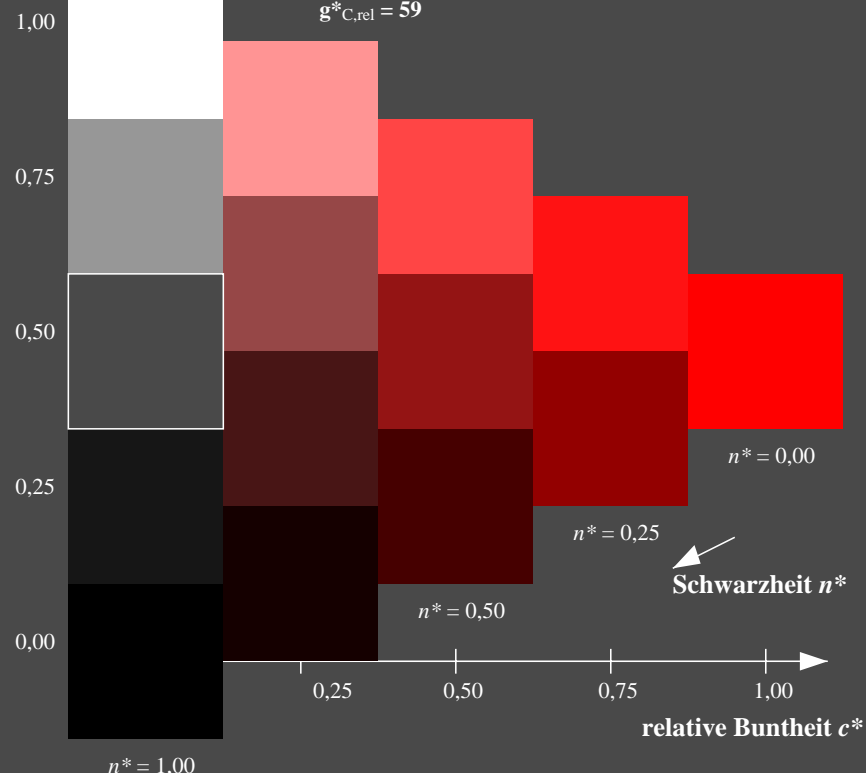
Dreiecks-Helligkeit t^*



ORS18; adaptierte CIELAB-Daten

| | $L^*=L^*_a$ | a^*_a | b^*_a | $C^*_{ab,a}$ | $h^*_{ab,a}$ |
|------|-------------|---------|---------|--------------|--------------|
| OMa | 47.94 | 65.37 | 50.52 | 82.62 | 38 |
| YMa | 90.37 | -10.27 | 91.77 | 92.34 | 96 |
| LMa | 50.9 | -62.79 | 34.95 | 71.87 | 151 |
| CMa | 58.62 | -30.35 | -45.01 | 54.3 | 236 |
| VMa | 25.71 | 31.11 | -44.42 | 54.24 | 305 |
| MMa | 48.13 | 75.27 | -8.35 | 75.73 | 354 |
| NMa | 18.01 | 0.0 | 0.0 | 0.0 | 0 |
| WMa | 95.41 | 0.0 | 0.0 | 0.0 | 0 |
| RCIE | 39.92 | 58.66 | 26.98 | 64.56 | 25 |
| JCIE | 81.26 | -2.17 | 67.76 | 67.79 | 92 |
| GCIE | 52.23 | -42.26 | 11.75 | 43.87 | 164 |
| BCIE | 30.57 | 1.15 | -46.84 | 46.87 | 271 |

%Umfang
 $u^*_{rel} = 93$
%Regularität
 $g^*_{H,rel} = 57$
 $g^*_{C,rel} = 59$



TG860-7, 3stufige Reihen für konstanten CIELAB Buntton 31/360 = 0.086 (links)

5stufige Reihen für konstanten CIELAB Buntton 38/360 = 0.105 (rechts)

BAM-Prüfvorlage TG86; Farbmatrik-Systeme MRS18a & ORS18

D65: 3 und 5stufige Farbreihen für 10 Bunttöne

input: `olv* setrgbcolor`

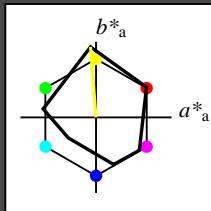
output: `olv* setrgbcolor / w* setgray`

Eingabe: Farbmatisches Reflexions-System MRS18a

für Buntton $h^* = lab^*h = 94/360 = 0.262$
 lab^*ich und lab^*nch

D65: Buntton J
LCH*Ma: 91 93 94
rgb*Ma: 1.0 1.0 0.0

Dreiecks-Helligkeit t^*



%Umfang
 $u^*_{rel} = 92$
%Regularität
 $g^*_{H,rel} = 42$
 $g^*_{C,rel} = 49$

MRS18a; adaptierte CIELAB-Daten

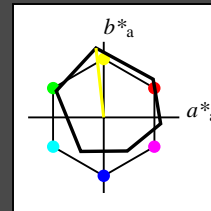
| | $L^*=L^*_a$ | a^*_a | b^*_a | $C^*_{ab,a}$ | $h^*_{ab,a}$ |
|--------|-------------|---------|---------|--------------|--------------|
| RMa | 49.63 | 66.8 | 40.02 | 77.87 | 31 |
| JMa | 90.7 | -7.27 | 93.19 | 93.48 | 94 |
| GMa | 52.11 | -69.93 | 11.26 | 70.85 | 171 |
| G50BMa | 45.03 | -36.65 | -27.13 | 45.61 | 217 |
| BMa | 36.65 | 23.26 | -62.27 | 66.49 | 290 |
| B50RMa | 34.94 | 57.27 | -43.6 | 71.99 | 323 |
| NMa | 18.01 | 0.0 | 0.0 | 0.0 | 0 |
| WMa | 95.41 | 0.0 | 0.0 | 0.0 | 0 |
| RCIE | 39.92 | 58.67 | 27.97 | 64.99 | 25 |
| JCIE | 81.26 | -2.91 | 71.56 | 71.62 | 92 |
| GCIE | 52.23 | -42.47 | 13.58 | 44.6 | 162 |
| BCIE | 30.57 | 1.33 | -46.48 | 46.51 | 272 |

Ausgabe: Farbmatisches Reflexions-System ORS18

für Buntton $h^* = lab^*h = 96/360 = 0.268$
 lab^*ich und lab^*nch

D65: Buntton Y
LCH*Ma: 90 92 96
rgb*Ma: 1.0 1.0 0.0

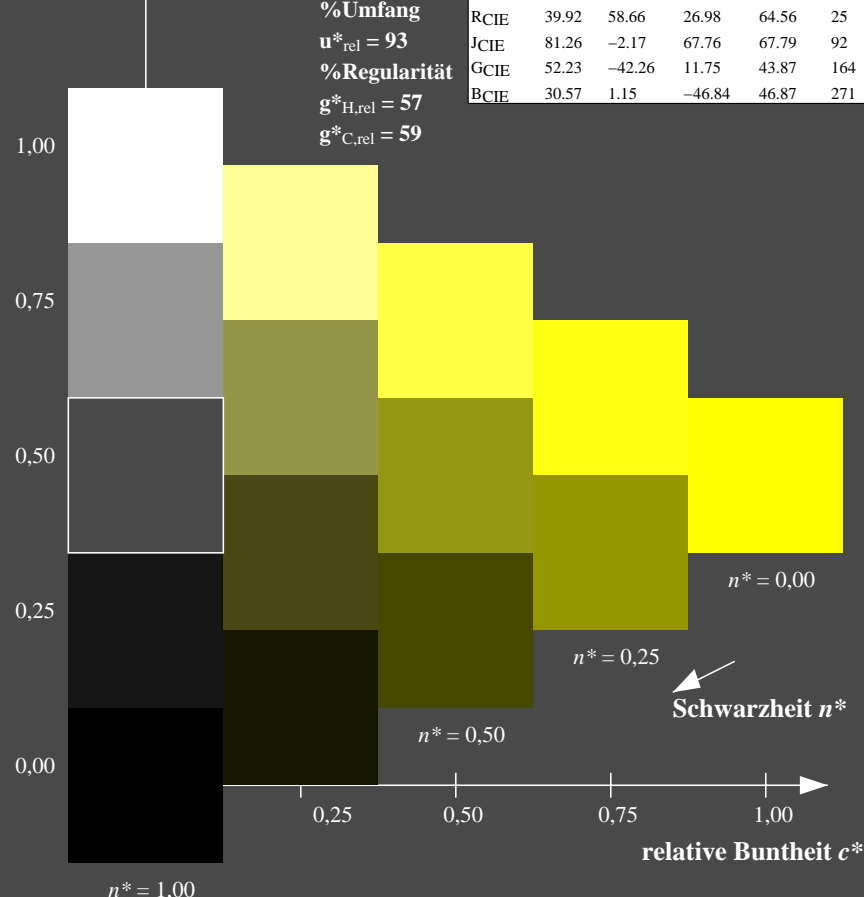
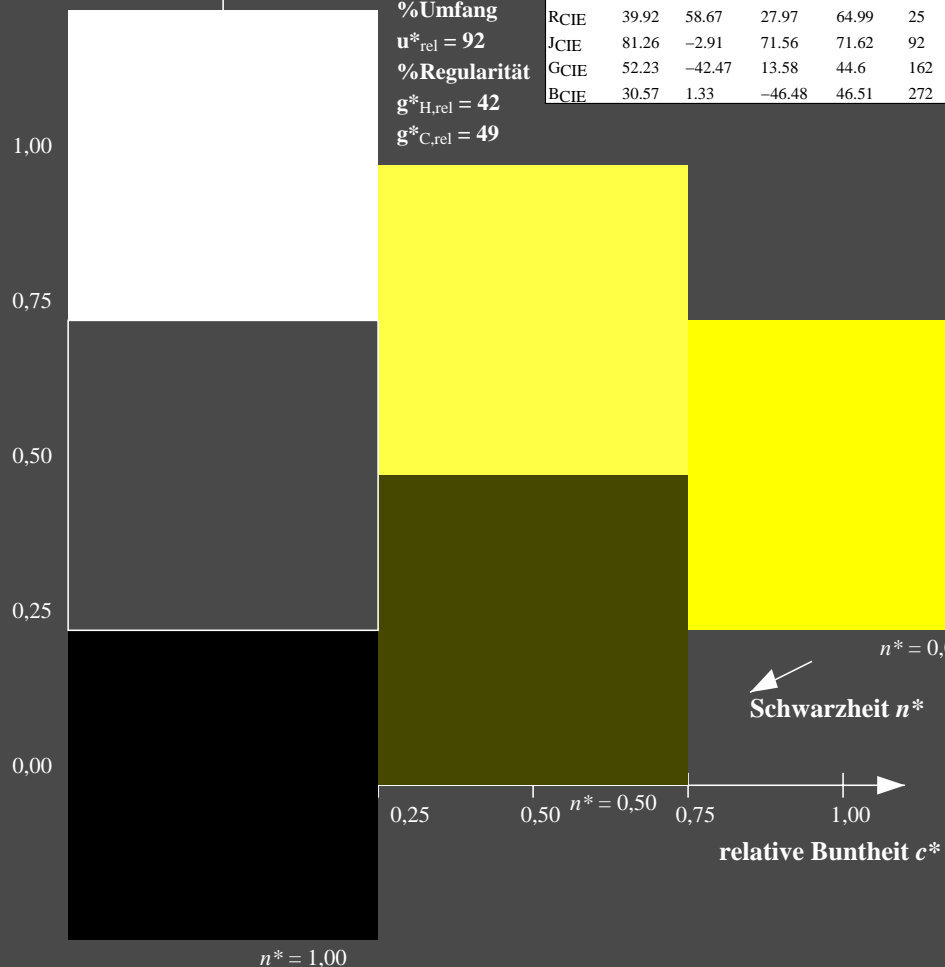
Dreiecks-Helligkeit t^*



%Umfang
 $u^*_{rel} = 93$
%Regularität
 $g^*_{H,rel} = 57$
 $g^*_{C,rel} = 59$

ORS18; adaptierte CIELAB-Daten

| | $L^*=L^*_a$ | a^*_a | b^*_a | $C^*_{ab,a}$ | $h^*_{ab,a}$ |
|------|-------------|---------|---------|--------------|--------------|
| OMa | 47.94 | 65.37 | 50.52 | 82.62 | 38 |
| YMa | 90.37 | -10.27 | 91.77 | 92.34 | 96 |
| LMa | 50.9 | -62.79 | 34.95 | 71.87 | 151 |
| CMa | 58.62 | -30.35 | -45.01 | 54.3 | 236 |
| VMa | 25.71 | 31.11 | -44.42 | 54.24 | 305 |
| MMa | 48.13 | 75.27 | -8.35 | 75.73 | 354 |
| NMa | 18.01 | 0.0 | 0.0 | 0.0 | 0 |
| WMa | 95.41 | 0.0 | 0.0 | 0.0 | 0 |
| RCIE | 39.92 | 58.66 | 26.98 | 64.56 | 25 |
| JCIE | 81.26 | -2.17 | 67.76 | 67.79 | 92 |
| GCIE | 52.23 | -42.26 | 11.75 | 43.87 | 164 |
| BCIE | 30.57 | 1.15 | -46.84 | 46.87 | 271 |



TG860-7, 3stufige Reihen für konstanten CIELAB Buntton 94/360 = 0.262 (links)

5stufige Reihen für konstanten CIELAB Buntton 96/360 = 0.268 (rechts)

BAM-Prüfvorlage TG86; Farbmatrik-Systeme MRS18a & ORS18

D65: 3 und 5stufige Farbreihen für 10 Bunttöne

input: `olv* setrgbcolor`

output: `olv* setrgbcolor / w* setgray`

Eingabe: Farbmétrisches Reflexions-System MRS18a

für Buntton $h^* = lab^*h = 171/360 = 0.475$

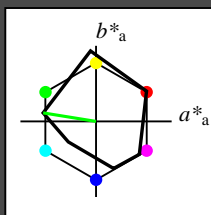
lab^*ich und lab^*nch

D65: Buntton G

LCH*Ma: 52 71 171

rgb*Ma: 0.0 1.0 0.0

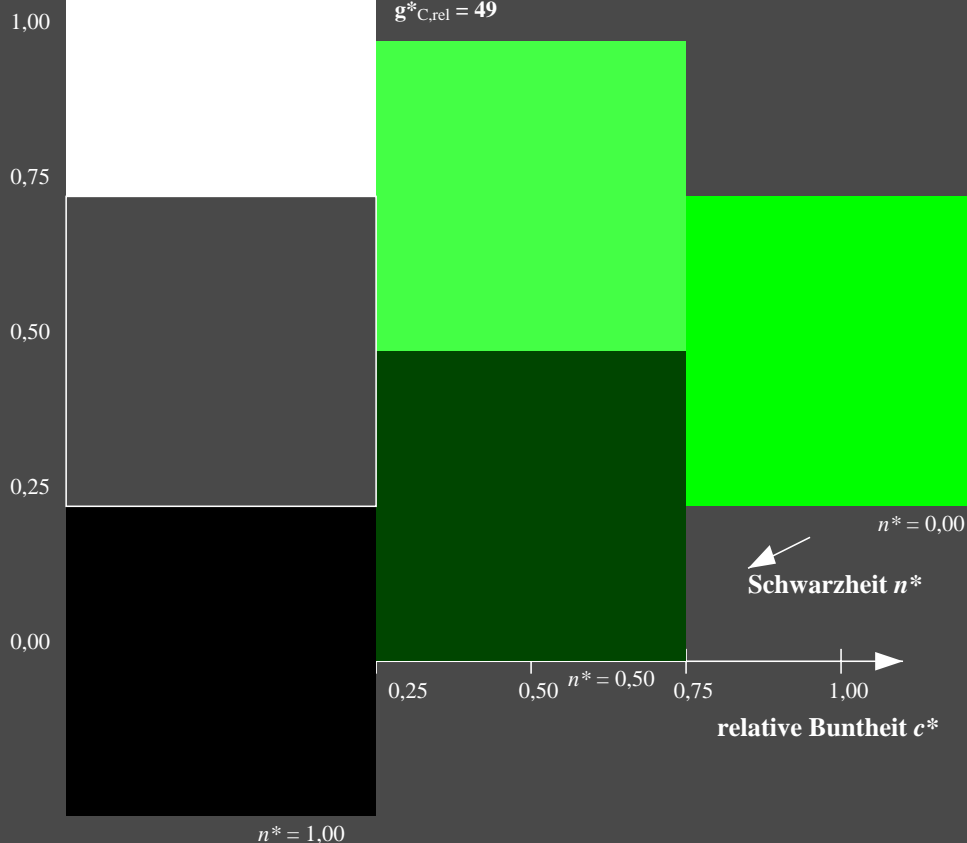
Dreiecks-Helligkeit t^*



MRS18a; adaptierte CIELAB-Daten

| | $L^*=L^*_a$ | a^*_a | b^*_a | $C^*_{ab,a}$ | $h^*_{ab,a}$ |
|--------|-------------|---------|---------|--------------|--------------|
| RMa | 49.63 | 66.8 | 40.02 | 77.87 | 31 |
| JMa | 90.7 | -7.27 | 93.19 | 93.48 | 94 |
| GMa | 52.11 | -69.93 | 11.26 | 70.85 | 171 |
| G50BMa | 45.03 | -36.65 | -27.13 | 45.61 | 217 |
| BMa | 36.65 | 23.26 | -62.27 | 66.49 | 290 |
| B50RMa | 34.94 | 57.27 | -43.6 | 71.99 | 323 |
| NMa | 18.01 | 0.0 | 0.0 | 0.0 | 0 |
| WMa | 95.41 | 0.0 | 0.0 | 0.0 | 0 |
| RCIE | 39.92 | 58.67 | 27.97 | 64.99 | 25 |
| JCIE | 81.26 | -2.91 | 71.56 | 71.62 | 92 |
| GCIE | 52.23 | -42.47 | 13.58 | 44.6 | 162 |
| BCIE | 30.57 | 1.33 | -46.48 | 46.51 | 272 |

%Umfang
 $u^*_{rel} = 92$
%Regularität
 $g^*_{H,rel} = 42$
 $g^*_{C,rel} = 49$



Ausgabe: Farbmétrisches Reflexions-System ORS18

für Buntton $h^* = lab^*h = 151/360 = 0.419$

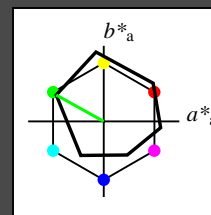
lab^*ich und lab^*nch

D65: Buntton L

LCH*Ma: 51 72 151

rgb*Ma: 0.0 1.0 0.0

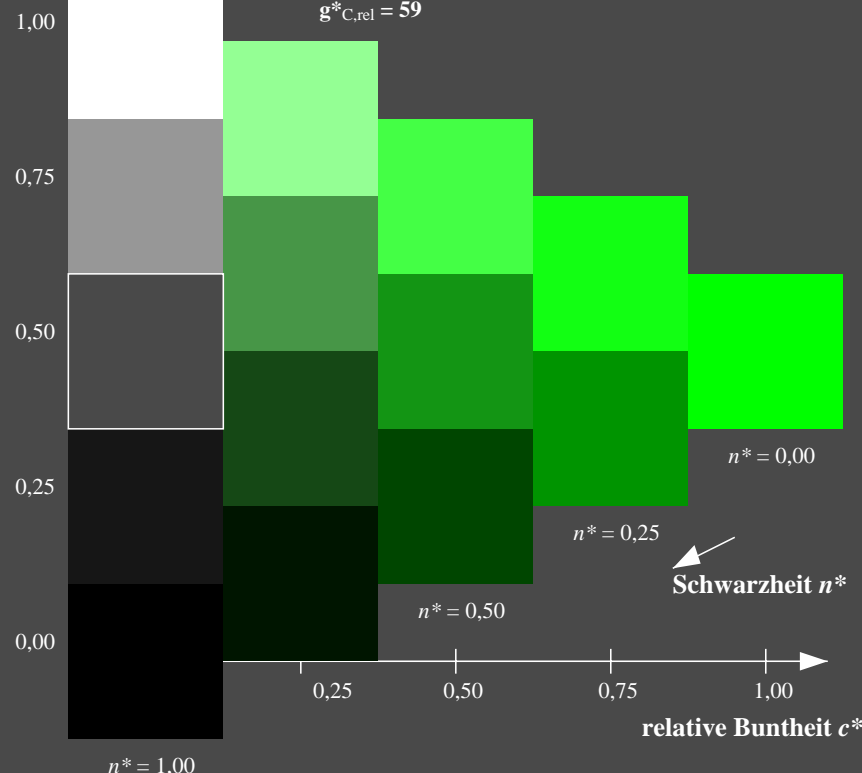
Dreiecks-Helligkeit t^*



ORS18; adaptierte CIELAB-Daten

| | $L^*=L^*_a$ | a^*_a | b^*_a | $C^*_{ab,a}$ | $h^*_{ab,a}$ |
|------|-------------|---------|---------|--------------|--------------|
| OMa | 47.94 | 65.37 | 50.52 | 82.62 | 38 |
| YMa | 90.37 | -10.27 | 91.77 | 92.34 | 96 |
| LMa | 50.9 | -62.79 | 34.95 | 71.87 | 151 |
| CMa | 58.62 | -30.35 | -45.01 | 54.3 | 236 |
| VMa | 25.71 | 31.11 | -44.42 | 54.24 | 305 |
| MMa | 48.13 | 75.27 | -8.35 | 75.73 | 354 |
| NMa | 18.01 | 0.0 | 0.0 | 0.0 | 0 |
| WMa | 95.41 | 0.0 | 0.0 | 0.0 | 0 |
| RCIE | 39.92 | 58.66 | 26.98 | 64.56 | 25 |
| JCIE | 81.26 | -2.17 | 67.76 | 67.79 | 92 |
| GCIE | 52.23 | -42.26 | 11.75 | 43.87 | 164 |
| BCIE | 30.57 | 1.15 | -46.84 | 46.87 | 271 |

%Umfang
 $u^*_{rel} = 93$
%Regularität
 $g^*_{H,rel} = 57$
 $g^*_{C,rel} = 59$



TG860-7, 3stufige Reihen für konstanten CIELAB Buntton 171/360 = 0.475 (links)

5stufige Reihen für konstanten CIELAB Buntton 151/360 = 0.419 (rechts)

BAM-Prüfvorlage TG86; Farbmétrik-Systeme MRS18a & ORS18

D65: 3 und 5stufige Farbreihen für 10 Bunttöne

input: `olv* setrgbcolor`

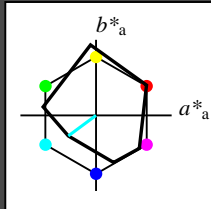
output: `olv* setrgbcolor / w* setgray`

Eingabe: Farbmatisches Reflexions-System MRS18a

für Buntton $h^* = lab^*h = 217/360 = 0.601$
 lab^*ich und lab^*nch

D65: Buntton G50B
LCH*Ma: 45 46 217
rgb*Ma: 0.0 1.0 1.0

Dreiecks-Helligkeit t^*



%Umfang
 $u^*_{rel} = 92$
%Regularität
 $g^*_{H,rel} = 42$
 $g^*_{C,rel} = 49$

MRS18a; adaptierte CIELAB-Daten

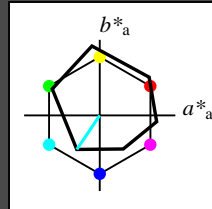
| | $L^*=L^*_a$ | a^*_a | b^*_a | $C^*_{ab,a}$ | $h^*_{ab,a}$ |
|--------|-------------|---------|---------|--------------|--------------|
| RMa | 49.63 | 66.8 | 40.02 | 77.87 | 31 |
| JMa | 90.7 | -7.27 | 93.19 | 93.48 | 94 |
| GMa | 52.11 | -69.93 | 11.26 | 70.85 | 171 |
| G50BMa | 45.03 | -36.65 | -27.13 | 45.61 | 217 |
| BMa | 36.65 | 23.26 | -62.27 | 66.49 | 290 |
| B50RMa | 34.94 | 57.27 | -43.6 | 71.99 | 323 |
| NMa | 18.01 | 0.0 | 0.0 | 0.0 | 0 |
| WMa | 95.41 | 0.0 | 0.0 | 0.0 | 0 |
| RCIE | 39.92 | 58.67 | 27.97 | 64.99 | 25 |
| JCIE | 81.26 | -2.91 | 71.56 | 71.62 | 92 |
| GCIE | 52.23 | -42.47 | 13.58 | 44.6 | 162 |
| BCIE | 30.57 | 1.33 | -46.48 | 46.51 | 272 |

Ausgabe: Farbmatisches Reflexions-System ORS18

für Buntton $h^* = lab^*h = 236/360 = 0.656$
 lab^*ich und lab^*nch

D65: Buntton C
LCH*Ma: 59 54 236
rgb*Ma: 0.0 1.0 1.0

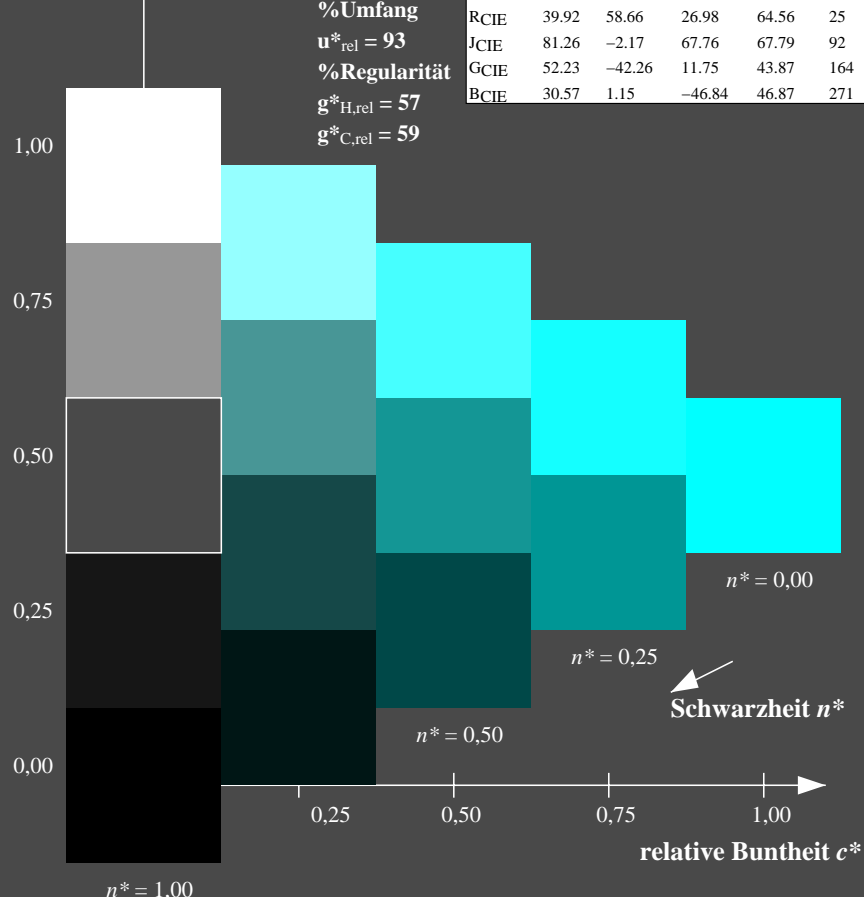
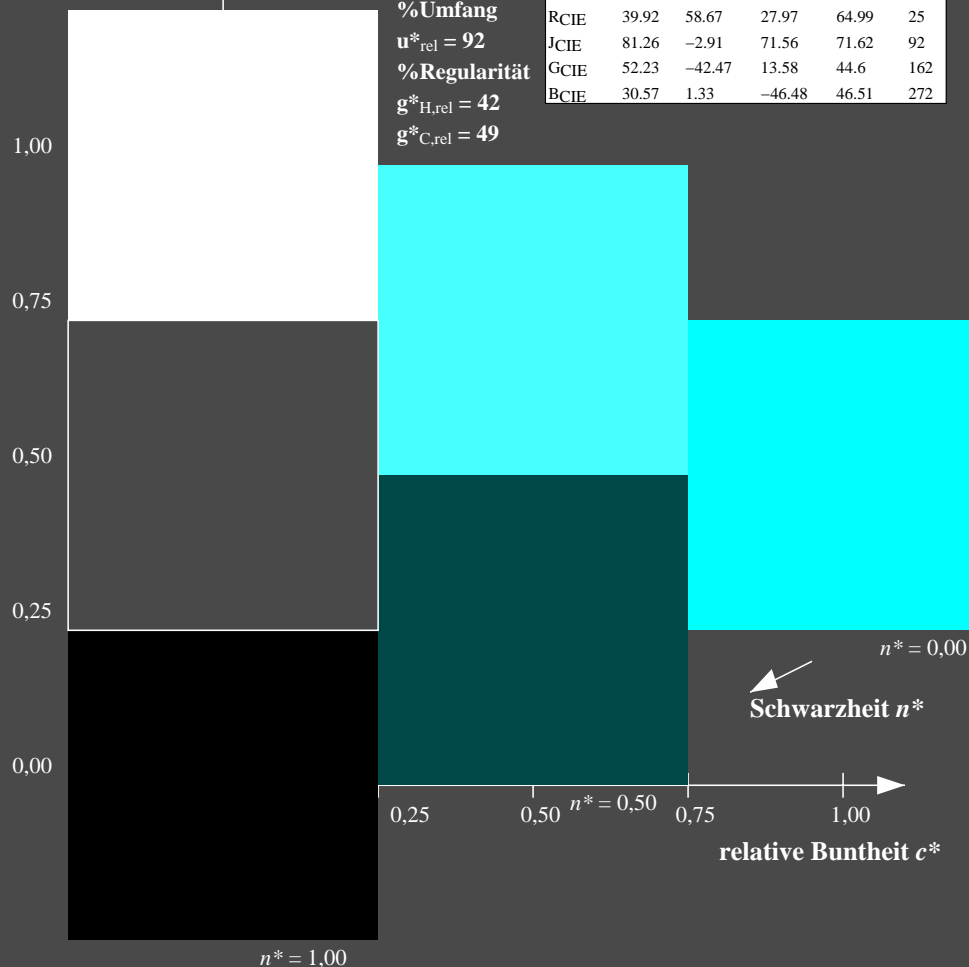
Dreiecks-Helligkeit t^*



%Umfang
 $u^*_{rel} = 93$
%Regularität
 $g^*_{H,rel} = 57$
 $g^*_{C,rel} = 59$

ORS18; adaptierte CIELAB-Daten

| | $L^*=L^*_a$ | a^*_a | b^*_a | $C^*_{ab,a}$ | $h^*_{ab,a}$ |
|------|-------------|---------|---------|--------------|--------------|
| OMa | 47.94 | 65.37 | 50.52 | 82.62 | 38 |
| YMa | 90.37 | -10.27 | 91.77 | 92.34 | 96 |
| LMa | 50.9 | -62.79 | 34.95 | 71.87 | 151 |
| CMa | 58.62 | -30.35 | -45.01 | 54.3 | 236 |
| VMa | 25.71 | 31.11 | -44.42 | 54.24 | 305 |
| MMa | 48.13 | 75.27 | -8.35 | 75.73 | 354 |
| NMa | 18.01 | 0.0 | 0.0 | 0.0 | 0 |
| WMa | 95.41 | 0.0 | 0.0 | 0.0 | 0 |
| RCIE | 39.92 | 58.66 | 26.98 | 64.56 | 25 |
| JCIE | 81.26 | -2.17 | 67.76 | 67.79 | 92 |
| GCIE | 52.23 | -42.26 | 11.75 | 43.87 | 164 |
| BCIE | 30.57 | 1.15 | -46.84 | 46.87 | 271 |



TG860-7, 3stufige Reihen für konstanten CIELAB Buntton 217/360 = 0.601 (links)

5stufige Reihen für konstanten CIELAB Buntton 236/360 = 0.656 (rechts)

BAM-Prüfvorlage TG86; Farbmeter-Systeme MRS18a & ORS18
D65: 3 und 5stufige Farbreihen für 10 Bunttöne

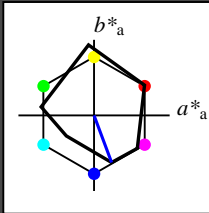
Input: `olv* setrgbcolor`
output: `olv* setrgbcolor / w* setgray`

Eingabe: Farbmétrisches Reflexions-System MRS18a

für Buntton $h^* = lab^*h = 290/360 = 0.807$
 lab^*ich und lab^*nch

D65: Buntton B
LCH*Ma: 37 66 290
rgb*Ma: 0.0 0.0 1.0

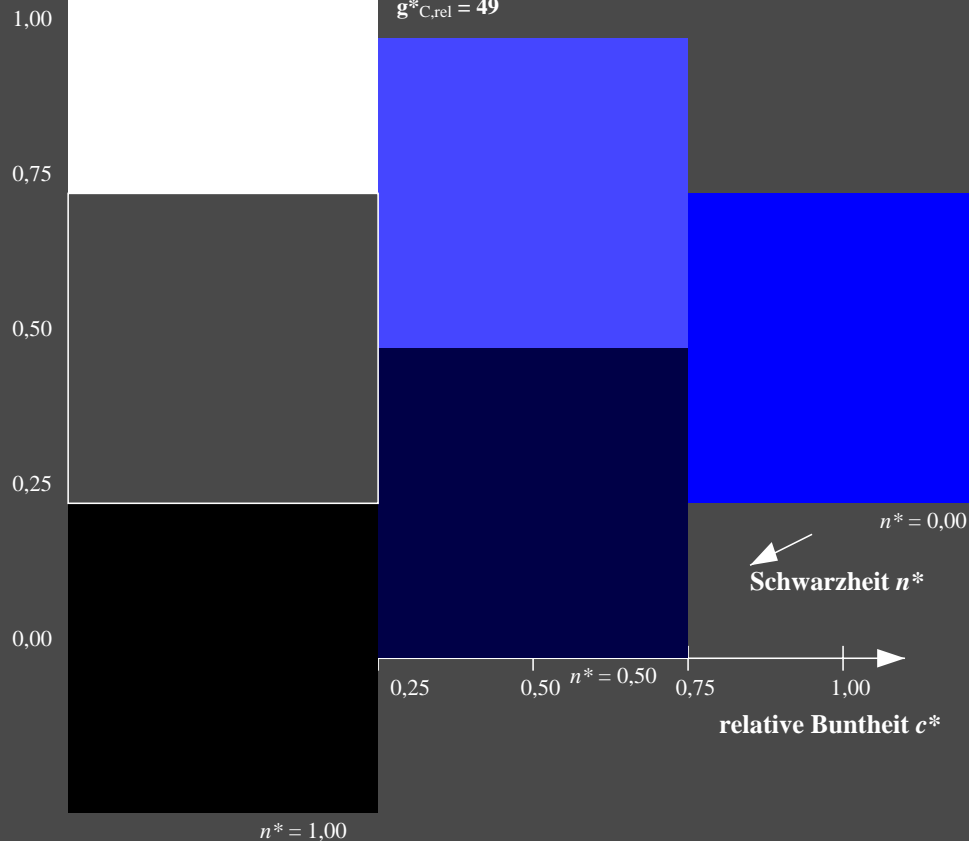
Dreiecks-Helligkeit t^*



MRS18a; adaptierte CIELAB-Daten

| | $L^*=L^*_a$ | a^*_a | b^*_a | $C^*_{ab,a}$ | $h^*_{ab,a}$ |
|--------|-------------|---------|---------|--------------|--------------|
| RMa | 49.63 | 66.8 | 40.02 | 77.87 | 31 |
| JMa | 90.7 | -7.27 | 93.19 | 93.48 | 94 |
| GMa | 52.11 | -69.93 | 11.26 | 70.85 | 171 |
| G50BMa | 45.03 | -36.65 | -27.13 | 45.61 | 217 |
| BMa | 36.65 | 23.26 | -62.27 | 66.49 | 290 |
| B50RMa | 34.94 | 57.27 | -43.6 | 71.99 | 323 |
| NMa | 18.01 | 0.0 | 0.0 | 0.0 | 0 |
| WMa | 95.41 | 0.0 | 0.0 | 0.0 | 0 |
| RCIE | 39.92 | 58.67 | 27.97 | 64.99 | 25 |
| JCIE | 81.26 | -2.91 | 71.56 | 71.62 | 92 |
| GCIE | 52.23 | -42.47 | 13.58 | 44.6 | 162 |
| BCIE | 30.57 | 1.33 | -46.48 | 46.51 | 272 |

%Umfang
 $u^*_{rel} = 92$
%Regularität
 $g^*_{H,rel} = 42$
 $g^*_{C,rel} = 49$

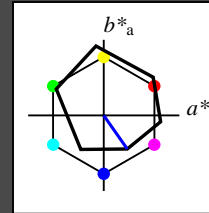


Ausgabe: Farbmétrisches Reflexions-System ORS18

für Buntton $h^* = lab^*h = 305/360 = 0.847$
 lab^*ich und lab^*nch

D65: Buntton V
LCH*Ma: 26 54 305
rgb*Ma: 0.0 0.0 1.0

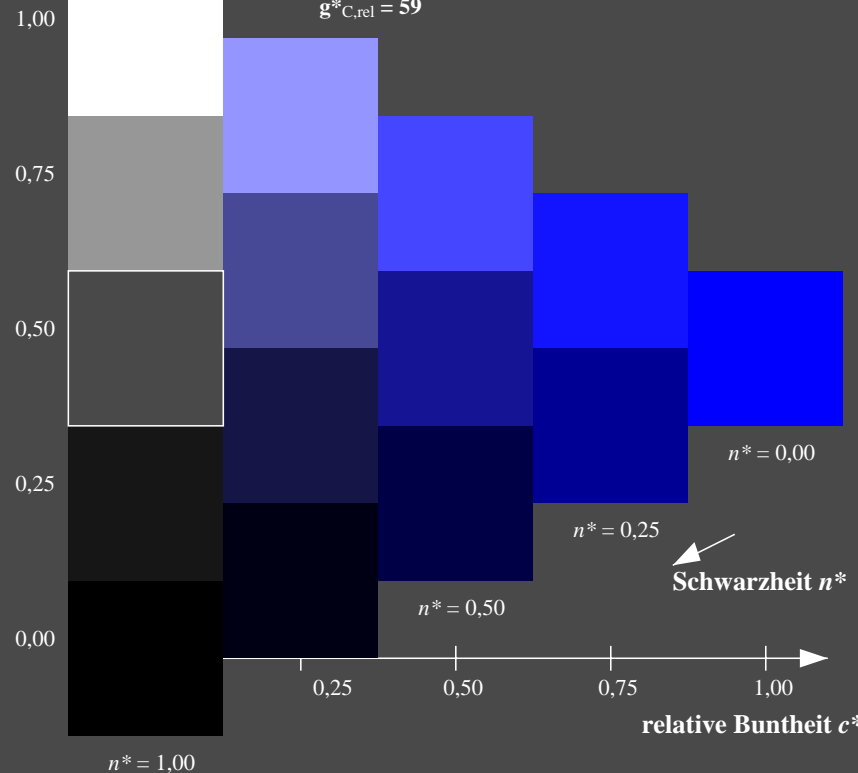
Dreiecks-Helligkeit t^*



ORS18; adaptierte CIELAB-Daten

| | $L^*=L^*_a$ | a^*_a | b^*_a | $C^*_{ab,a}$ | $h^*_{ab,a}$ |
|------|-------------|---------|---------|--------------|--------------|
| OMa | 47.94 | 65.37 | 50.52 | 82.62 | 38 |
| YMa | 90.37 | -10.27 | 91.77 | 92.34 | 96 |
| LMa | 50.9 | -62.79 | 34.95 | 71.87 | 151 |
| CMa | 58.62 | -30.35 | -45.01 | 54.3 | 236 |
| VMa | 25.71 | 31.11 | -44.42 | 54.24 | 305 |
| MMa | 48.13 | 75.27 | -8.35 | 75.73 | 354 |
| NMa | 18.01 | 0.0 | 0.0 | 0.0 | 0 |
| WMa | 95.41 | 0.0 | 0.0 | 0.0 | 0 |
| RCIE | 39.92 | 58.66 | 26.98 | 64.56 | 25 |
| JCIE | 81.26 | -2.17 | 67.76 | 67.79 | 92 |
| GCIE | 52.23 | -42.26 | 11.75 | 43.87 | 164 |
| BCIE | 30.57 | 1.15 | -46.84 | 46.87 | 271 |

%Umfang
 $u^*_{rel} = 93$
%Regularität
 $g^*_{H,rel} = 57$
 $g^*_{C,rel} = 59$



TG860-7, 3stufige Reihen für konstanten CIELAB Buntton 290/360 = 0.807 (links)

5stufige Reihen für konstanten CIELAB Buntton 305/360 = 0.847 (rechts)

BAM-Prüfvorlage TG86; Farbmétrik-Systeme MRS18a & ORS18

D65: 3 und 5stufige Farbreihen für 10 Bunttöne

input: `olv* setrgbcolor`

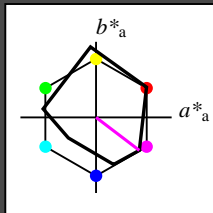
output: `olv* setrgbcolor / w* setgray`

Eingabe: Farbmatisches Reflexions-System MRS18a

für Buntton $h^* = lab^*h = 323/360 = 0.896$
 lab^*ich und lab^*nch

D65: Buntton B50R
LCH*Ma: 35 72 323
rgb*Ma: 1.0 0.0 1.0

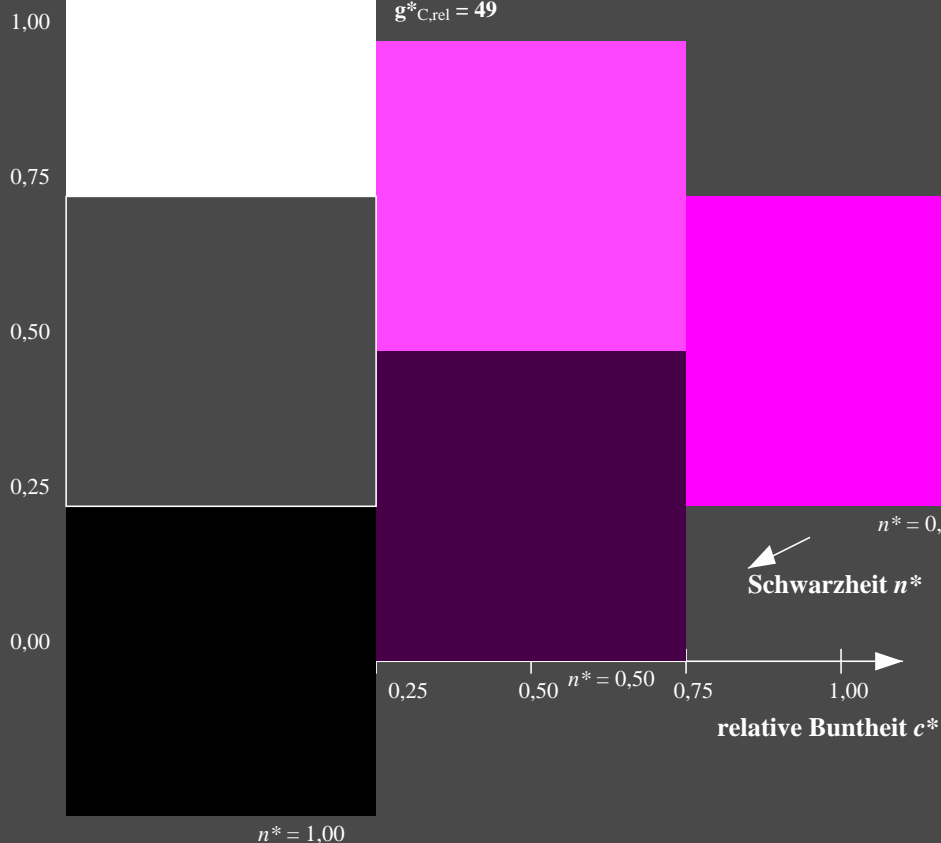
Dreiecks-Helligkeit t^*



MRS18a; adaptierte CIELAB-Daten

| | $L^*=L^*_a$ | a^*_a | b^*_a | $C^*_{ab,a}$ | $h^*_{ab,a}$ |
|--------|-------------|---------|---------|--------------|--------------|
| RMa | 49.63 | 66.8 | 40.02 | 77.87 | 31 |
| JMa | 90.7 | -7.27 | 93.19 | 93.48 | 94 |
| GMa | 52.11 | -69.93 | 11.26 | 70.85 | 171 |
| G50BMa | 45.03 | -36.65 | -27.13 | 45.61 | 217 |
| BMa | 36.65 | 23.26 | -62.27 | 66.49 | 290 |
| B50RMa | 34.94 | 57.27 | -43.6 | 71.99 | 323 |
| NMa | 18.01 | 0.0 | 0.0 | 0.0 | 0 |
| WMa | 95.41 | 0.0 | 0.0 | 0.0 | 0 |
| RCIE | 39.92 | 58.67 | 27.97 | 64.99 | 25 |
| JCIE | 81.26 | -2.91 | 71.56 | 71.62 | 92 |
| GCIE | 52.23 | -42.47 | 13.58 | 44.6 | 162 |
| BCIE | 30.57 | 1.33 | -46.48 | 46.51 | 272 |

%Umfang
 $u^*_{rel} = 92$
%Regularität
 $g^*_{H,rel} = 42$
 $g^*_{C,rel} = 49$

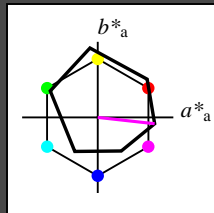


Ausgabe: Farbmatisches Reflexions-System ORS18

für Buntton $h^* = lab^*h = 354/360 = 0.982$
 lab^*ich und lab^*nch

D65: Buntton M
LCH*Ma: 48 76 354
rgb*Ma: 1.0 0.0 1.0

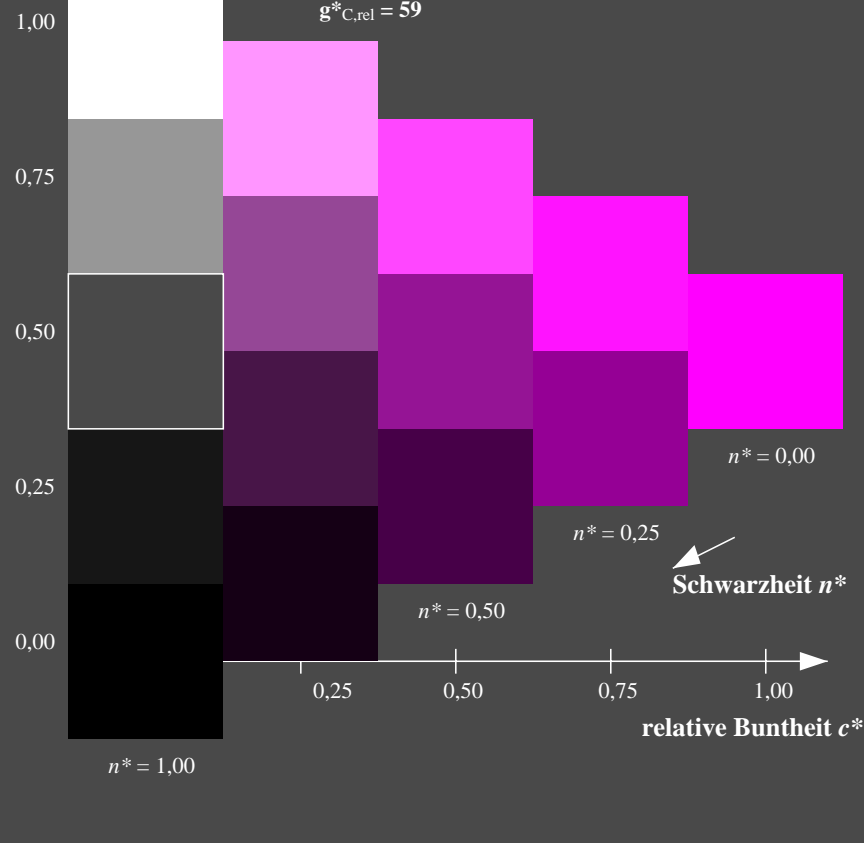
Dreiecks-Helligkeit t^*



ORS18; adaptierte CIELAB-Daten

| | $L^*=L^*_a$ | a^*_a | b^*_a | $C^*_{ab,a}$ | $h^*_{ab,a}$ |
|------|-------------|---------|---------|--------------|--------------|
| OMa | 47.94 | 65.37 | 50.52 | 82.62 | 38 |
| YMa | 90.37 | -10.27 | 91.77 | 92.34 | 96 |
| LMa | 50.9 | -62.79 | 34.95 | 71.87 | 151 |
| CLMa | 58.62 | -30.35 | -45.01 | 54.3 | 236 |
| VMa | 25.71 | 31.11 | -44.42 | 54.24 | 305 |
| MMa | 48.13 | 75.27 | -8.35 | 75.73 | 354 |
| NMa | 18.01 | 0.0 | 0.0 | 0.0 | 0 |
| WMa | 95.41 | 0.0 | 0.0 | 0.0 | 0 |
| RCIE | 39.92 | 58.66 | 26.98 | 64.56 | 25 |
| JCIE | 81.26 | -2.17 | 67.76 | 67.79 | 92 |
| GCIE | 52.23 | -42.26 | 11.75 | 43.87 | 164 |
| BCIE | 30.57 | 1.15 | -46.84 | 46.87 | 271 |

%Umfang
 $u^*_{rel} = 93$
%Regularität
 $g^*_{H,rel} = 57$
 $g^*_{C,rel} = 59$



TG860-7, 3stufige Reihen für konstanten CIELAB Buntton 323/360 = 0.896 (links)

5stufige Reihen für konstanten CIELAB Buntton 354/360 = 0.982 (rechts)

BAM-Prüfvorlage TG86; Farbmatrik-Systeme MRS18a & ORS18

D65: 3 und 5stufige Farbreihen für 10 Bunttöne

input: `olv* setrgbcolor`

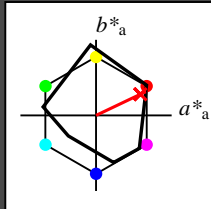
output: `olv* setrgbcolor / w* setgray`

Eingabe: Farbmatisches Reflexions-System MRS18a

für Buntton $h^* = lab^*h = 25/360 = 0.071$
 lab^*ich und lab^*nch

D65: Buntton R
LCH*Ma: 48 73 25
rgb*Ma: 1.0 0.0 0.1

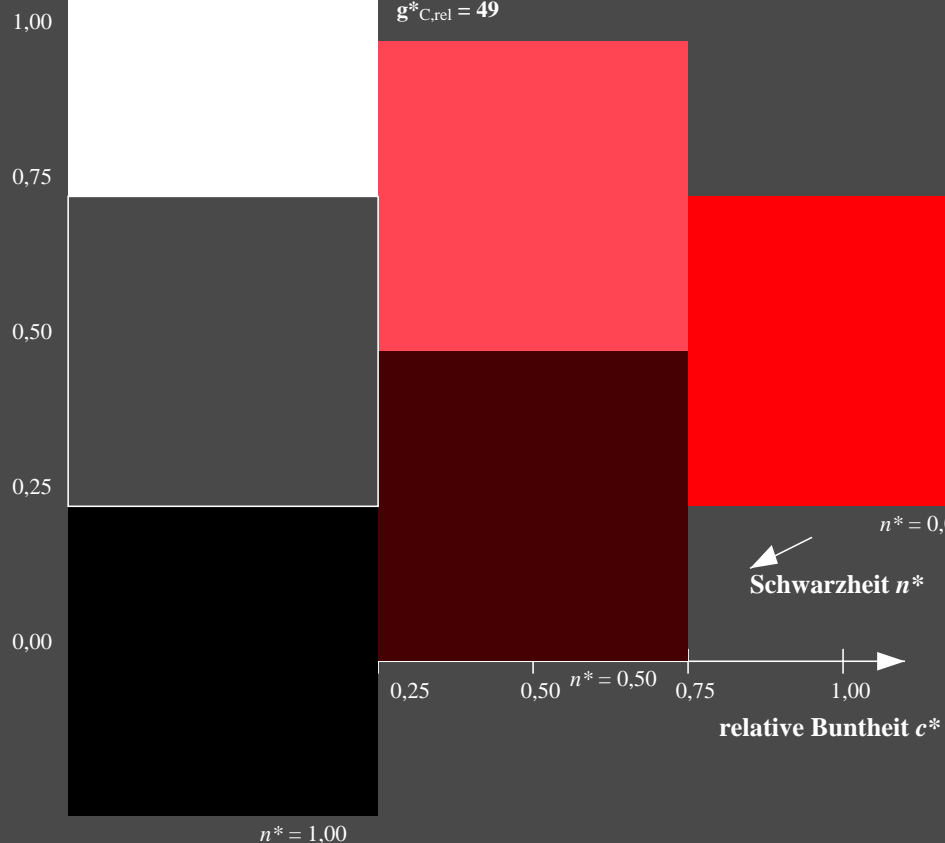
Dreiecks-Helligkeit t^*



MRS18a; adaptierte CIELAB-Daten

| | $L^*=L^*_a$ | a^*_a | b^*_a | $C^*_{ab,a}$ | $h^*_{ab,a}$ |
|--------|-------------|---------|---------|--------------|--------------|
| RMa | 49.63 | 66.8 | 40.02 | 77.87 | 31 |
| JMa | 90.7 | -7.27 | 93.19 | 93.48 | 94 |
| GMa | 52.11 | -69.93 | 11.26 | 70.85 | 171 |
| G50BMa | 45.03 | -36.65 | -27.13 | 45.61 | 217 |
| BMa | 36.65 | 23.26 | -62.27 | 66.49 | 290 |
| B50RMa | 34.94 | 57.27 | -43.6 | 71.99 | 323 |
| NMa | 18.01 | 0.0 | 0.0 | 0.0 | 0 |
| WMa | 95.41 | 0.0 | 0.0 | 0.0 | 0 |
| RCIE | 39.92 | 58.67 | 27.97 | 64.99 | 25 |
| JCIE | 81.26 | -2.91 | 71.56 | 71.62 | 92 |
| GCIE | 52.23 | -42.47 | 13.58 | 44.6 | 162 |
| BCIE | 30.57 | 1.33 | -46.48 | 46.51 | 272 |

%Umfang
 $u^*_{rel} = 92$
%Regularität
 $g^*_{H,rel} = 42$
 $g^*_{C,rel} = 49$

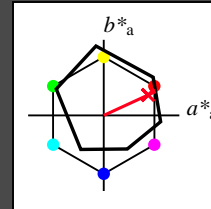


Ausgabe: Farbmatisches Reflexions-System ORS18

für Buntton $h^* = lab^*h = 25/360 = 0.069$
 lab^*ich und lab^*nch

D65: Buntton R
LCH*Ma: 48 75 25
rgb*Ma: 1.0 0.0 0.32

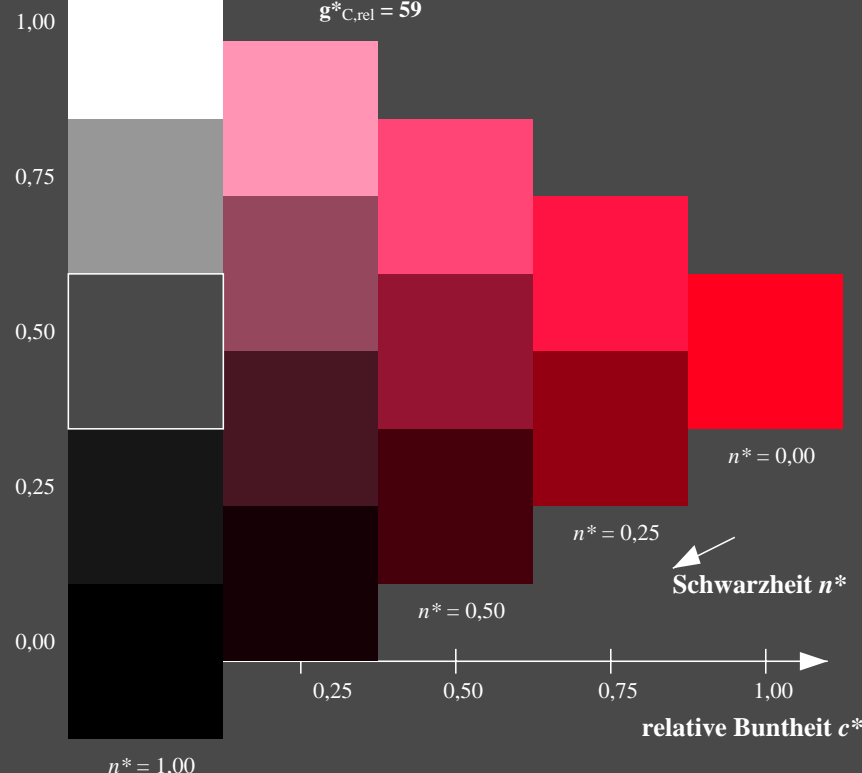
Dreiecks-Helligkeit t^*



ORS18; adaptierte CIELAB-Daten

| | $L^*=L^*_a$ | a^*_a | b^*_a | $C^*_{ab,a}$ | $h^*_{ab,a}$ |
|------|-------------|---------|---------|--------------|--------------|
| OMa | 47.94 | 65.37 | 50.52 | 82.62 | 38 |
| YMa | 90.37 | -10.27 | 91.77 | 92.34 | 96 |
| LMa | 50.9 | -62.79 | 34.95 | 71.87 | 151 |
| CMa | 58.62 | -30.35 | -45.01 | 54.3 | 236 |
| VMa | 25.71 | 31.11 | -44.42 | 54.24 | 305 |
| MMa | 48.13 | 75.27 | -8.35 | 75.73 | 354 |
| NMa | 18.01 | 0.0 | 0.0 | 0.0 | 0 |
| WMa | 95.41 | 0.0 | 0.0 | 0.0 | 0 |
| RCIE | 39.92 | 58.66 | 26.98 | 64.56 | 25 |
| JCIE | 81.26 | -2.17 | 67.76 | 67.79 | 92 |
| GCIE | 52.23 | -42.26 | 11.75 | 43.87 | 164 |
| BCIE | 30.57 | 1.15 | -46.84 | 46.87 | 271 |

%Umfang
 $u^*_{rel} = 93$
%Regularität
 $g^*_{H,rel} = 57$
 $g^*_{C,rel} = 59$



TG860-7, 3stufige Reihen für konstanten CIELAB Buntton 25/360 = 0.071 (links)

5stufige Reihen für konstanten CIELAB Buntton 25/360 = 0.069 (rechts)

BAM-Prüfvorlage TG86; Farbmatrik-Systeme MRS18a & ORS18

D65: 3 und 5stufige Farbreihen für 10 Bunttöne

input: `olv* setrgbcolor`

output: `olv* setrgbcolor / w* setgray`

Eingabe: Farbmatisches Reflexions-System MRS18a

für Buntton $h^* = lab^*h = 92/360 = 0.256$

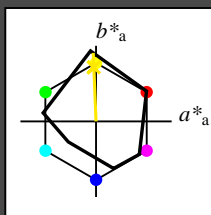
lab^*ich und lab^*nch

D65: Buntton J

LCH*Ma: 89 91 92

rgb*Ma: 1.0 0.95 0.0

Dreiecks-Helligkeit t^*



%Umfang
 $u^*_{rel} = 92$
%Regularität
 $g^*_{H,rel} = 42$
 $g^*_{C,rel} = 49$

MRS18a; adaptierte CIELAB-Daten

| | $L^*=L^*_a$ | a^*_a | b^*_a | $C^*_{ab,a}$ | $h^*_{ab,a}$ |
|--------|-------------|---------|---------|--------------|--------------|
| RMa | 49.63 | 66.8 | 40.02 | 77.87 | 31 |
| JMa | 90.7 | -7.27 | 93.19 | 93.48 | 94 |
| GMa | 52.11 | -69.93 | 11.26 | 70.85 | 171 |
| G50BMa | 45.03 | -36.65 | -27.13 | 45.61 | 217 |
| BMa | 36.65 | 23.26 | -62.27 | 66.49 | 290 |
| B50RMa | 34.94 | 57.27 | -43.6 | 71.99 | 323 |
| NMa | 18.01 | 0.0 | 0.0 | 0.0 | 0 |
| WMa | 95.41 | 0.0 | 0.0 | 0.0 | 0 |
| RCIE | 39.92 | 58.67 | 27.97 | 64.99 | 25 |
| JCIE | 81.26 | -2.91 | 71.56 | 71.62 | 92 |
| GCIE | 52.23 | -42.47 | 13.58 | 44.6 | 162 |
| BCIE | 30.57 | 1.33 | -46.48 | 46.51 | 272 |

Ausgabe: Farbmatisches Reflexions-System ORS18

für Buntton $h^* = lab^*h = 92/360 = 0.255$

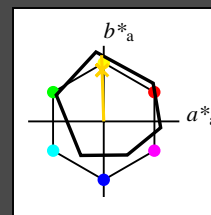
lab^*ich und lab^*nch

D65: Buntton J

LCH*Ma: 86 88 92

rgb*Ma: 1.0 0.9 0.0

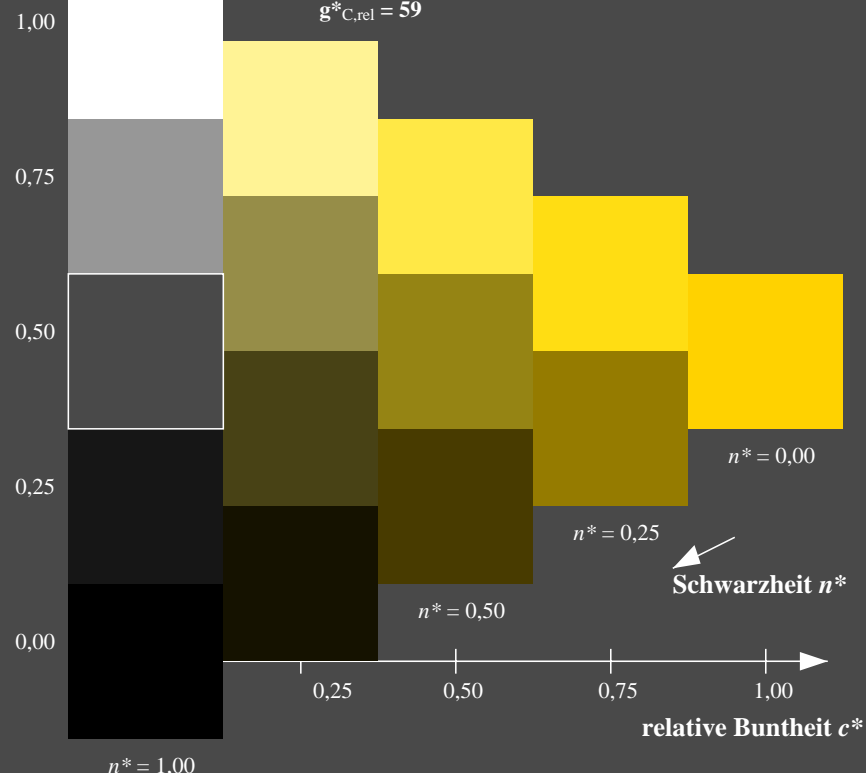
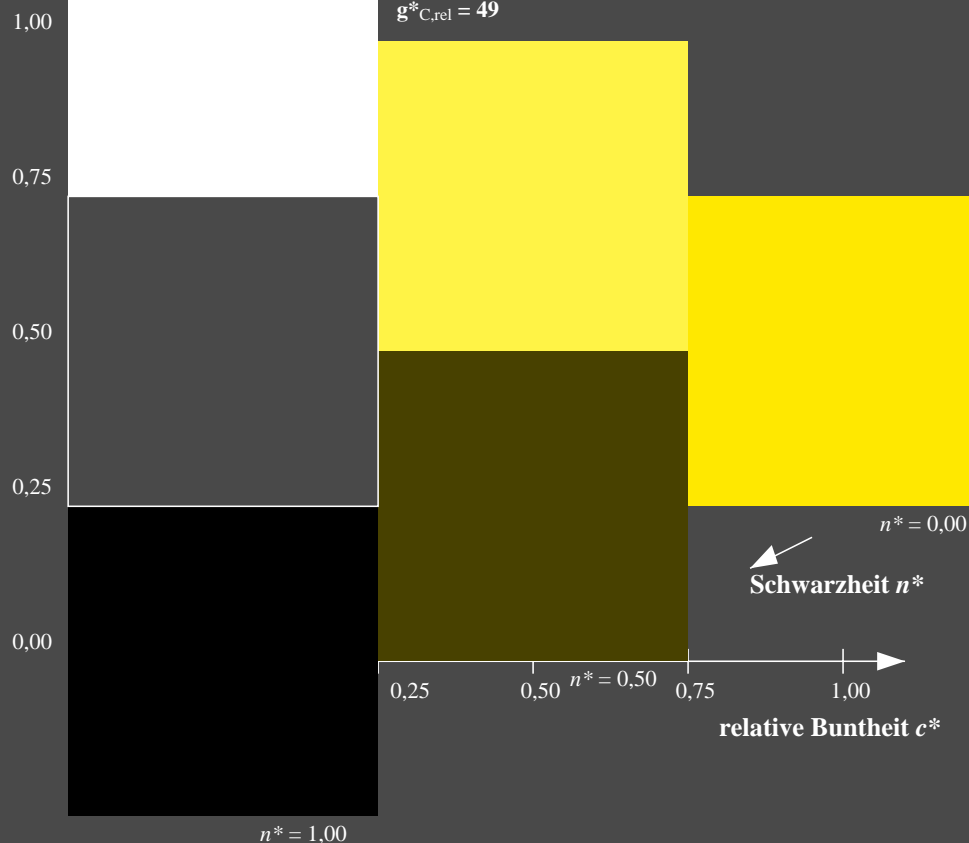
Dreiecks-Helligkeit t^*



%Umfang
 $u^*_{rel} = 93$
%Regularität
 $g^*_{H,rel} = 57$
 $g^*_{C,rel} = 59$

ORS18; adaptierte CIELAB-Daten

| | $L^*=L^*_a$ | a^*_a | b^*_a | $C^*_{ab,a}$ | $h^*_{ab,a}$ |
|------|-------------|---------|---------|--------------|--------------|
| OMa | 47.94 | 65.37 | 50.52 | 82.62 | 38 |
| YMa | 90.37 | -10.27 | 91.77 | 92.34 | 96 |
| LMa | 50.9 | -62.79 | 34.95 | 71.87 | 151 |
| CMa | 58.62 | -30.35 | -45.01 | 54.3 | 236 |
| VMa | 25.71 | 31.11 | -44.42 | 54.24 | 305 |
| MMa | 48.13 | 75.27 | -8.35 | 75.73 | 354 |
| NMa | 18.01 | 0.0 | 0.0 | 0.0 | 0 |
| WMa | 95.41 | 0.0 | 0.0 | 0.0 | 0 |
| RCIE | 39.92 | 58.66 | 26.98 | 64.56 | 25 |
| JCIE | 81.26 | -2.17 | 67.76 | 67.79 | 92 |
| GCIE | 52.23 | -42.26 | 11.75 | 43.87 | 164 |
| BCIE | 30.57 | 1.15 | -46.84 | 46.87 | 271 |



TG860-7, 3stufige Reihen für konstanten CIELAB Buntton 92/360 = 0.256 (links)

5stufige Reihen für konstanten CIELAB Buntton 92/360 = 0.255 (rechts)

BAM-Prüfvorlage TG86; Farbmatrik-Systeme MRS18a & ORS18

D65: 3 und 5stufige Farbreihen für 10 Bunttöne

input: `olv* setrgbcolor`

output: `olv* setrgbcolor / w* setgray`

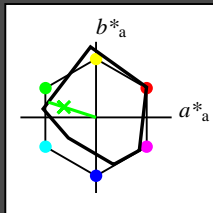
Siehe ähnliche Dateien: <http://www.ps.bam.de/TG86/>
Technische Information: <http://www.ps.bam.de> Version 2.1, io=1,1, CIEXYZ

Eingabe: Farbmétrisches Reflexions-System MRS18a

für Buntton $h^* = lab^*h = 162/360 = 0.451$
 lab^*ich und lab^*nch

D65: Buntton G
LCH*Ma: 56 66 162
rgb*Ma: 0.11 1.0 0.0

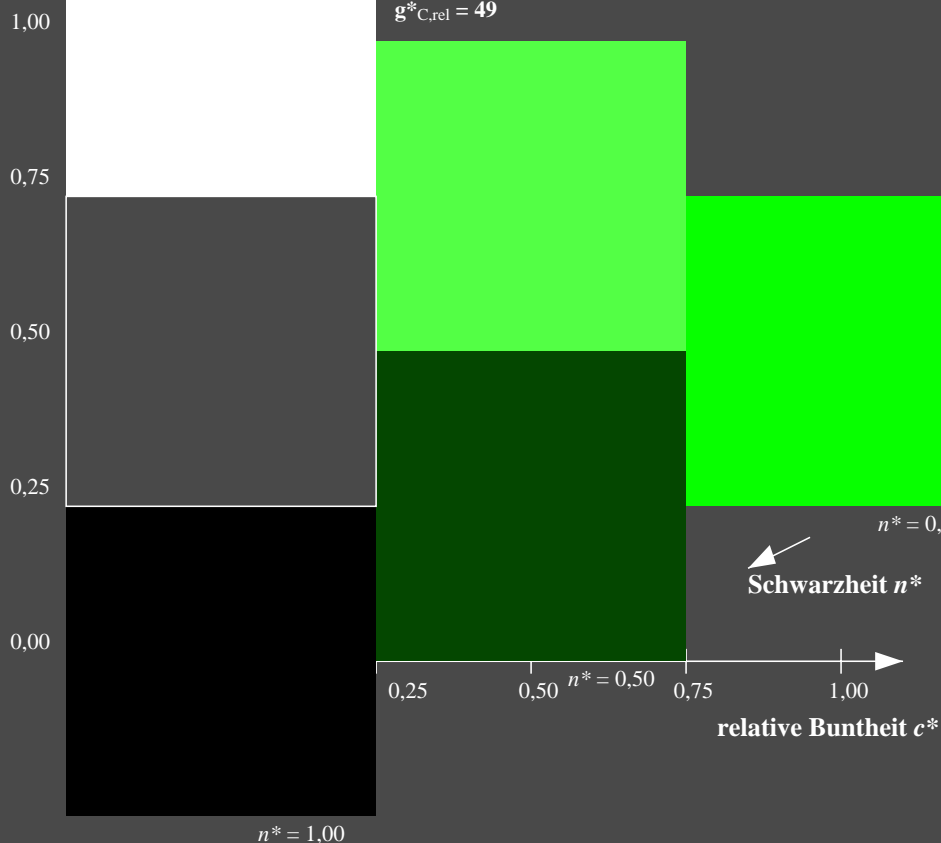
Dreiecks-Helligkeit t^*



MRS18a; adaptierte CIELAB-Daten

| | $L^*=L^*_a$ | a^*_a | b^*_a | $C^*_{ab,a}$ | $h^*_{ab,a}$ |
|--------|-------------|---------|---------|--------------|--------------|
| RMa | 49.63 | 66.8 | 40.02 | 77.87 | 31 |
| JMa | 90.7 | -7.27 | 93.19 | 93.48 | 94 |
| GMa | 52.11 | -69.93 | 11.26 | 70.85 | 171 |
| G50BMa | 45.03 | -36.65 | -27.13 | 45.61 | 217 |
| BMa | 36.65 | 23.26 | -62.27 | 66.49 | 290 |
| B50RMa | 34.94 | 57.27 | -43.6 | 71.99 | 323 |
| NMa | 18.01 | 0.0 | 0.0 | 0.0 | 0 |
| WMa | 95.41 | 0.0 | 0.0 | 0.0 | 0 |
| RCIE | 39.92 | 58.67 | 27.97 | 64.99 | 25 |
| JCIE | 81.26 | -2.91 | 71.56 | 71.62 | 92 |
| GCIE | 52.23 | -42.47 | 13.58 | 44.6 | 162 |
| BCIE | 30.57 | 1.33 | -46.48 | 46.51 | 272 |

%Umfang
 $u^*_{rel} = 92$
%Regularität
 $g^*_{H,rel} = 42$
 $g^*_{C,rel} = 49$

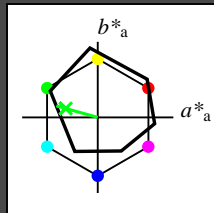


Ausgabe: Farbmétrisches Reflexions-System ORS18

für Buntton $h^* = lab^*h = 164/360 = 0.457$
 lab^*ich und lab^*nch

D65: Buntton G
LCH*Ma: 53 57 164
rgb*Ma: 0.0 1.0 0.25

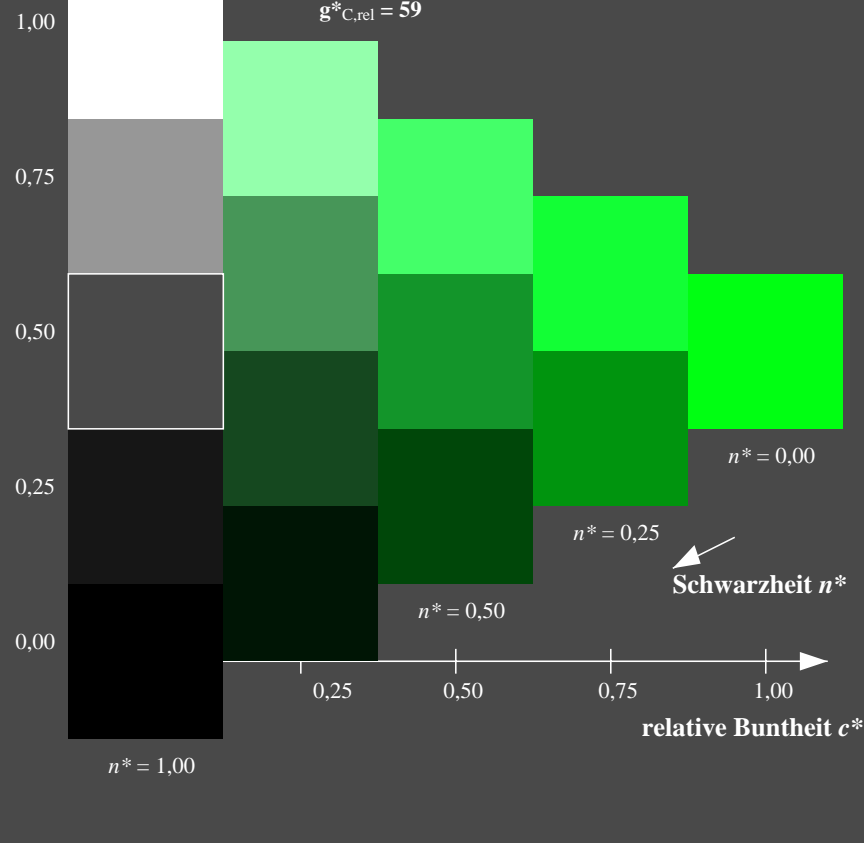
Dreiecks-Helligkeit t^*



ORS18; adaptierte CIELAB-Daten

| | $L^*=L^*_a$ | a^*_a | b^*_a | $C^*_{ab,a}$ | $h^*_{ab,a}$ |
|------|-------------|---------|---------|--------------|--------------|
| OMa | 47.94 | 65.37 | 50.52 | 82.62 | 38 |
| YMa | 90.37 | -10.27 | 91.77 | 92.34 | 96 |
| LMa | 50.9 | -62.79 | 34.95 | 71.87 | 151 |
| CMa | 58.62 | -30.35 | -45.01 | 54.3 | 236 |
| VMa | 25.71 | 31.11 | -44.42 | 54.24 | 305 |
| MMa | 48.13 | 75.27 | -8.35 | 75.73 | 354 |
| NMa | 18.01 | 0.0 | 0.0 | 0.0 | 0 |
| WMa | 95.41 | 0.0 | 0.0 | 0.0 | 0 |
| RCIE | 39.92 | 58.66 | 26.98 | 64.56 | 25 |
| JCIE | 81.26 | -2.17 | 67.76 | 67.79 | 92 |
| GCIE | 52.23 | -42.26 | 11.75 | 43.87 | 164 |
| BCIE | 30.57 | 1.15 | -46.84 | 46.87 | 271 |

%Umfang
 $u^*_{rel} = 93$
%Regularität
 $g^*_{H,rel} = 57$
 $g^*_{C,rel} = 59$



TG860-7, 3stufige Reihen für konstanten CIELAB Buntton 162/360 = 0.451 (links)

5stufige Reihen für konstanten CIELAB Buntton 164/360 = 0.457 (rechts)

BAM-Prüfvorlage TG86; Farbmétrik-Systeme MRS18a & ORS18

D65: 3 und 5stufige Farbreihen für 10 Bunttöne

input: `olv* setrgbcolor`

output: `olv* setrgbcolor / w* setgray`

BAM-Registrierung: 20060101-TG86/10S/S86G08FP.PS/.PDF BAM-Material: Code=rh4ta
Anwendung für Beurteilung und Messung von Drucker- oder Monitorsystemen, Yr=2.5, XYZ
/TG86 Form: 9/10, Serie: 1/1, Seite: 9
Seite: 9

